



مجله علوم و تکنولوژی پلیمر،

سال بیست و یکم، شماره ۶،

صفحه ۵۲۲-۵۱۵

ISSN : 1016-3255

# مطالعه سینتیک پلیمر شدن اتیلن با کاتالیزور و تعیین غلظت مراکز فعال $TiCl_4/Mg(OC_2H_5)_2$

شکوفه حکیم\*، محمد مهدی مرتضوی

تهران، پژوهشگاه پلیمر و پتروشیمی ایران، صندوق پستی ۱۴۹۶۵-۱۱۵

دریافت: ۸/۷/۹۷، پذیرش: ۸/۱۰/۲

## چکیده

پلیمر شدن اتیلن در فاز دو غایبی با استفاده از کاتالیزور زیگلر - ناتای<sub>۲</sub>  $TiCl_4/Mg(OC_2H_5)_2$  فعال شده با تری اتیل آلومنیم انجام شد. در این پژوهش، آثار مقاومت های انقال جرم بر سرعت پلیمر شدن بررسی و عدم تأثیر آنها بر سینتیک پلیمر شدن تأیید شد. پس از اندازه گیری غلظت مراکز فعال به روش بازدارندگی با کربن مونوکسید اثر دمای پلیمر شدن، غلظت مونومر و کمک کاتالیزور و هیدروژن تأیید شد. با استفاده از منحنی های بیشینه سرعت پلیمر شدن و میانگین سرعت پلیمر شدن پس از ۱۳ و ۵۰ min در فشارهای مختلف، نشان داده شد که سرعت پلیمر شدن نسبت به غلظت مونومر از درجه اول است. هم چنین، وابستگی سرعت پلیمر شدن به غلظت کمک کاتالیزور با ساز و کار لانگ مایر - هنшел وود قابل توجیه است. سرعت پلیمر شدن با افزایش فشار نسبی هیدروژن کاهش یافته و نسبت به دمای پلیمر شدن دارای مقدار بهینه ای است.

## واژه های کلیدی

اتیلن، پلیمر شدن،  
سینتیک،  
کاتالیزور زیگلر - ناتای،  
فاز دو غایبی

\*مسئول مکاتبات، پیام نگار:

s.hakim@ippi.ac.ir

# Study of Ethylene Polymerization Kinetics by $TiCl_4/Mg(OC_2H_5)_2$ Catalyst and Determination of the Active Sites Concentration

S. Hakim\* and M. Mortazavi

Iran Polymer and Petrochemical Institute, P.O. Box: 14965-115

Received 26 November 2008, accepted 22 December 2008

## Abstract

Ethylene was polymerized in slurry phase over a  $TiCl_4/Mg(OC_2H_5)_2$  catalyst activated by  $Al(C_2H_5)_3$ . It was shown experimentally that mass transfer resistance has no effect on polymerization kinetics. After estimation of the active site concentration by inhibition method with carbon monoxide, the effects of polymerization temperature, monomer and cocatalyst concentrations and hydrogen were investigated. By determination of the average rate of polymerization at 13 min and 50 min of reaction times it was observed that the polymerization rate was first order with respect to the monomer concentration and the dependence of the polymerization rate on the concentration of  $Al(C_2H_5)_3$  could be described by the Langmuir-Hinshelwood mechanism. The polymerization rate decreased with the increase of hydrogen partial pressure. Polymerization rate as a function of polymerization temperature showed a maximum point.

## Key Words

ethylene, polymerization,  
kinetics,  
Ziegler-Natta catalyst,  
slurry phase

(\*) To whom correspondence  
should be addressed.

E-mail: s.hakim@ippi.ac.ir

جایی آزمایش های سینتیکی برای کاتالیزور مورد نظر معین شده است.

## تجربی

### مواد

در این پژوهش، گاز اتیلن نوع پلیمر شدن از مجتمع پتروشیمی ارak تهیه شد. نیتروژن و هیدروژن با خلوص ۹۹/۹۹ درصد از شرکت رهام تهیه و برای استفاده از روی غربال مولکولی عبور داده شد. کربن مونوکسید خیلی خالص برای اندازه گیری مراکز فعال بدون خالص سازی به کار گرفته شد.

هگزان نرمال به عنوان رقیق کننده در پلیمر شدن از مجتمع پتروشیمی ارak تهیه و پس از تقطیر روی نوار سدیم و غربال مولکولی نگه داری شد. تری اتیل آلومینیم به عنوان کمک کاتالیزور از شرکت شرینگ تهیه و بدون خالص سازی مورد استفاده قرار گرفت. کاتالیزور مصرفی که از واکنش منیزیم اتوکسید با تیتانیم تتراکلرید ساخته شده بود، با نسبت عنصری  $Ti:Mg:Cl=0.135:1.23:1$  از واحد پلی اتیلن سنگین تهیه شده است. داده های فیزیکی کاتالیزور در جدول ۱ آورده شده است.

### روش ها پلیمر شدن

پلیمر شدن دوغابی اتیلن در یک راکتور اتوکلاو ۱ لیتری دارای هم زن مغناطیسی انجام شد. برای تکرار پذیری داده ها تمام اجزای پلیمر شدن در شرایط یکسان تهیه و مخلوط شد. مقدار مناسبی از تری اتیل آلومینیم به عنوان کمک کاتالیزور در  $400\text{ mL}$  هگزان زیر جریان نیتروژن اضافه شد. سپس، سامانه زیر جریان اتیلن قرار گرفت و کاملاً اشباع شد و پس از رسیدن دما به مقدار مورد نظر کاتالیزور اضافه و پلیمر شدن به مدت  $1\text{ h}$  انجام شد.

هنگام استفاده از هیدروژن ابتدا راکتور با استفاده از سامانه کنترل کننده جریان فشاری به مقدار فشار جزئی هیدروژن رسانده شد. سپس، با اتیلن

### مقدمه

کاتالیزورهای بسیار فعال زیگلر - ناتا از ترکیب ترکیبات منیزیم با ترکیبات تیتانیم به همراه یک فعال ساز آلتی - فلزی آلومینیمی ساخته می شوند. اهمیت این کاتالیزورها در بهبود شرایط عملیاتی و محصول دهی همراه با کاهش کاتالیزور باقی مانده موجود در پلیمر است.

$MgCl_2$  به عنوان نگه دارنده ای مناسب هنوز هم توسط پژوهشگران مختلف و همچنین دارندگان دانش فنی تولید پلی اولفین ها استفاده می شود [۱-۵]. انواع مختلف ترکیبات منیزیم نظیر  $Mg(OH)_2$ ,  $MgR_2$ ,  $Mg(OH)_2$  و  $Mg(OR)_2$  را می توان با استفاده از ترکیبات هالوژن دار نظیر  $TiCl_4$  به منیزیم دی کلرید تبدیل کرد.

تاکنون چند مقاله درباره سینتیک پلیمر شدن اولفین ها، به ویژه اتیلن با کاتالیزورهای صنعتی در داخل کشور منتشر شده است [۶-۹]. اما، در تعیین سینتیک پلیمر شدن، مقاومت های انتقال جرم مؤثر بر سرعت پلیمر شدن بررسی نشده است. همچنین، اطلاعات غلظت مراکز فعال برای کاتالیزورهای مورد استفاده ارائه نشده است. چگونگی وابستگی سرعت پلیمر شدن با فشار مونومر که در بعضی مراجع عدد ۷۷ تا ۱/۹ گزارش شده است، باید در نبود مقاومت های انتقال جرم اندازه گیری شود [۶].

اثر فشار مونومر بر فعالیت کاتالیزور و مقدار تولید محصول نیز در نبود مقاومت های انتقال جرم با مقادیر متفاوت گزارش شده است [۸]. در واکنش های فاز گازی که با یک مرحله پیش پلیمر شدن همراه است، مقاومت انتقال جرمی که در سرعت های کم هم زن وجود دارد، با افزایش سرعت باید حذف شود [۹].

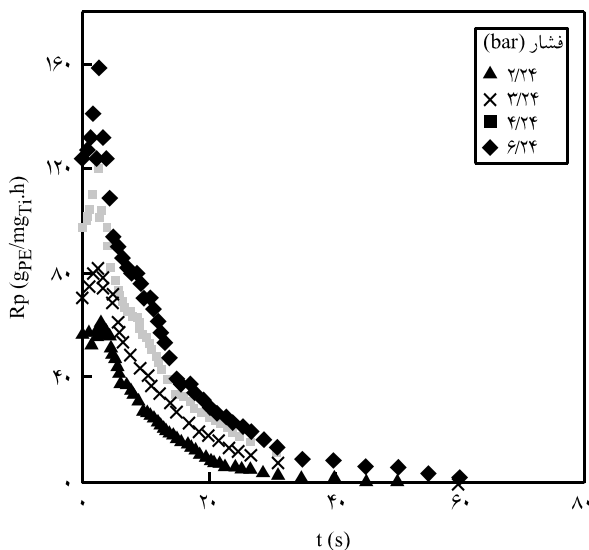
در این مقاله، پلیمر شدن اتیلن در مجاورت کاتالیزور زیگلر - ناتای صنعتی برای تولید پلی اتیلن سنگین در غیاب مقاومت های انتقال جرم داخلی و خارجی انجام شده است. بدین ترتیب نتایج به دست آمده منحصر آناشی از سینتیک واکنش است و درجه واکنش و مقادیر انرژی فعال سازی تحت تأثیر مقاومت های انتقال جرم قرار نمی گیرد. همچنین، هر کاتالیزور دارای غلظت مراکز فعال ویژه ای است که در این

جدول ۱ - داده های فیزیکی کاتالیزور استفاده شده.\*

سطح ویژه ( $\text{m}^2/\text{g}$ )	قطر خلل و فرج $r_p(\text{A}^\circ)$	قطر متوسط ذره $d_o=2S_o(\mu\text{m})$	چگالی ( $\text{g}/\text{cm}^3$ )	چگالی توده ( $\text{g}/\text{cm}^3$ )
۱۴۹/۰۶۹۴	۳۹۷	۳۰/۰/۳۱۵**	۱۷۲	۰/۰۵۸

\* این اطلاعات از واحد صنعتی پلی اتیلن سنگین دریافت شده است.

\*\* عدد داخل پرانتز مقدار انحراف استاندارد را نشان می دهد.



شکل ۱- اثر فشار اتیلن بر سرعت پلیمر شدن (شرایط واکنش:  $T=60^{\circ}C$  و  $[Ti]=2.96 \times 10^{-5}$  mol,  $[AlEt_3]=736$  mmol/L).

غلظت مراکز فعال در انتهای بخش بعدی توضیح داده شده است.

#### اثر فشار اتیلن بر سرعت پلیمر شدن

شکل ۱ منحنی های سرعت پلیمر شدن در فشارهای مختلف را نشان می دهد. سرعت پلیمر شدن با افزاییدن فشار اتیلن افزایش می یابد. مقادیر بیشینه سرعت پلیمر شدن و میانگین سرعت آن پس از گذشت ۱۳ و ۵۰ min در فشارهای مختلف محاسبه شد. شکل های ۲-الف و ب نشان می دهد که مقادیر بیشینه سرعت پلیمر شدن نسبت به فشار اتیلن و مقادیر میانگین سرعت آن پس از گذشت ۱۳ و ۵۰ min نسبت به فشار اتیلن از درجه ۱ است.

#### اثر کمک کاتالیزور بر سرعت پلیمر شدن

شکل ۳ منحنی های سرعت پلیمر شدن را در مقادیر مختلف غلظت کمک کاتالیزور در شرایط فشار کل ۲ bar و دمای  $60^{\circ}C$  نشان می دهد. سرعت پلیمر شدن با افزایش غلظت تری اتیل آلومینیم از  $7.524 \times 10^{-2}$  mmol/L تا مقدار  $1.757$  mmol/L سرعت پلیمر شدن کاهش می یابد. بیشینه سرعت در غلظت خاصی از کمک کاتالیزور با رقابت بین مونومر و کمک کاتالیزور برای جذب روى مركز فعال توجيه می شود. ساز و کار لانگ مایر - هنسل وود مطابق معادله (۲) اين رفتار را توجيه می کند:

$$R_P = \frac{k k_M k_A [A][M]}{(1 + k_A[A] + k_M[M])^2} \quad (2)$$

فشار کل تأمین شد. سرعت پلیمر شدن یا به عبارتی مصرف اتیلن با استفاده از جریان سنج کالبیره شده، اندازه گیری شد. به منظور تعیین مقدار مراکز فعال، مقدار مشخصی کربن مونوکسید به راکتور اضافه شد تا از کاهش ایجاد شده در سرعت پلیمر شدن برای تعیین آن استفاده شود [۱۰-۱۱].

## نتایج و بحث

### حذف اثر مقاومت انتقال جرم

برای یافتن مقاومت انتقال جرم خارجی در پلیمر شدن، سرعت آن در شرایط یکسان به همراه تغییر سرعت هم زن و مقدار کاتالیزور اندازه گیری شد. پلیمر شدن در سرعت های  $800$  و  $1000$  rpm و مشخص شد که در دورهای بیش از  $800$  rpm تغییری در سرعت پلیمر شدن مشاهده نمی شود. بدین ترتیب، مقاومت انتقال جرم خارجی حذف شد [۱۲، ۱۳].

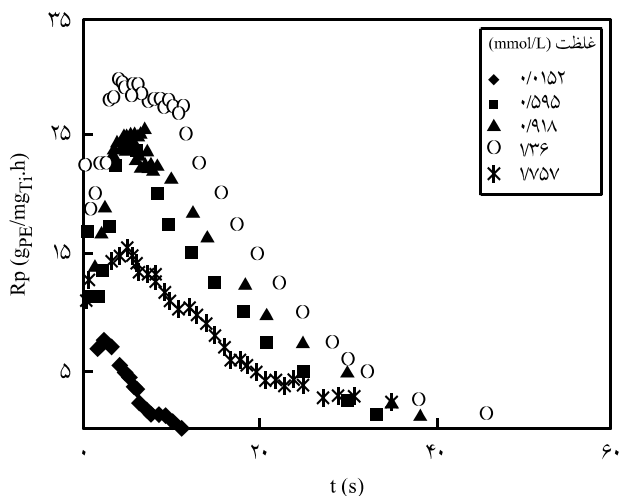
از آزمایش های اولیه پلیمر شدن مشخص شد که سرعت پلیمر شدن نسبت به مقدار کاتالیزور در محدوده غلظت تیتانیم کمتر از  $1.84 \times 10^{-4}$  mmol/L به طور خطی رفتار می کند. بنابراین، سرعت پلیمر شدن کمتر از سرعت انتقال اتیلن به فاز مایع پلیمر شدن نگه داشته شد. در نتیجه می توان گفت که مقاومت انتقال جرم خارجی گاز - مایع در این شرایط پلیمر شدن حکم فرمایست.

برای یافتن مقاومت انتقال جرم داخلی در حفره های کاتالیزور، مدلول Thiele که نسبت سرعت پلیمر شدن ذاتی در غیاب محدودیت های نفوذ به حفره ها در شرایط واکنش است، با استفاده از معادله (۱) اندازه گیری شد [۱۲، ۱۳]:

$$\phi = \frac{(k_p C_0)^{1/2}}{D_m} C_0 \quad (1)$$

در این معادله  $\phi$  مدلول Thiele،  $C_0$  غلظت اولیه مراکز فعال،  $D_m$  ضریب نفوذ اتیلن ( $m^2 s^{-1}$ )،  $k_p$  ثابت سرعت انتشار ( $s^{-1} m^{-1}$ ) و  $S_0$  شعاع اولیه ذره کاتالیزور (cm) است.

برای این سامانه کاتالیزوری، مقدار  $C_0$ ,  $D_m$ ,  $\phi$ ,  $k_p$  و  $S_0$  به ترتیب  $0.05 \times 10^{-4}$  cm,  $3.5 \times 10^{-6}$  cm $^2 s^{-1}$ ,  $0.8 \times 10^{10}$  mol/mol Ti,  $0.05 \times 10^{-4}$  mol/mol Al و  $1.571 \times 10^{-1}$  mol $^{-1}s^{-1}$  به دست آمد. مقدار  $\phi > 10$  نشان گر وجود محدودیت نفوذ است، در حالی که مقادیر کم مدلول Thiele (کمتر از ۱) بیان گر عدم وجود محدودیت نفوذ است. در نتیجه با توجه به شرایط پلیمر شدن موجود، مقاومت انتقال جرم قابل اندازه گیری وجود ندارد. تعیین



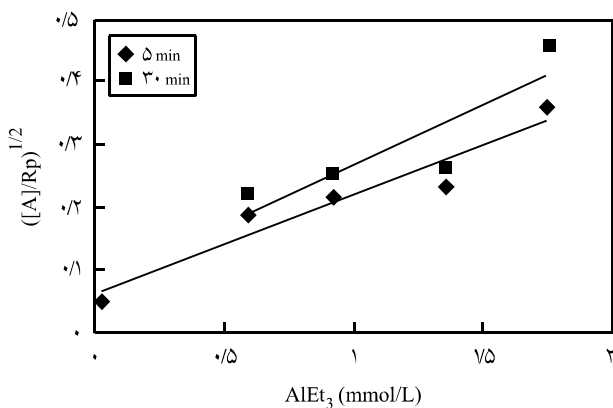
شکل ۳- اثر غلظت کمک کاتالیزور بر سرعت پلیمر شدن (شرایط واکنش:  $T=60^{\circ}\text{C}$ ,  $[Ti]=2/96 \times 10^{-5} \text{ mol}$ ,  $P=2 \text{ bar}$  و  $k' = 2/96 \times 10^{-5} \text{ mol} \cdot \text{bar}^{-1} \text{ s}^{-1}$ ).

و  $k'$  از منحنی خطی به دست آمده و در جدول ۲ قرار داده شده است.  
کاهش سرعت پلیمر شدن ناشی از کاهش مقدار  $k'$  است.

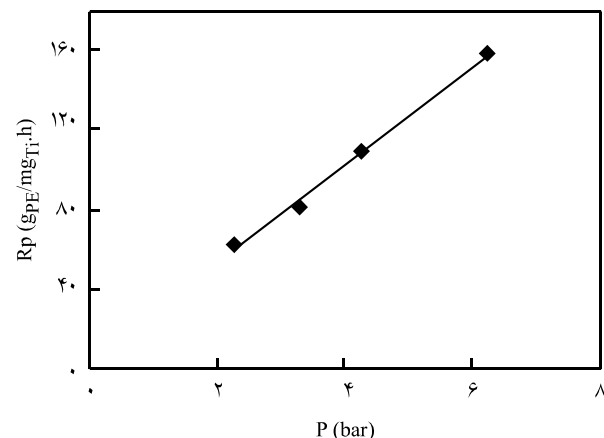
#### اثر دما بر سرعت پلیمر شدن

پلیمر شدن اتیلن در دماهای ۵۰، ۶۰، ۷۰، ۸۰ و  $90^{\circ}\text{C}$  برای تعیین اثر دمای واکنش بر سرعت پلیمر شدن انجام شد. شکل ۵ منحنی های سرعت پلیمر شدن را در دماهای مختلف نشان می دهد. سرعت پلیمر شدن از دمای ۵۰ تا  $70^{\circ}\text{C}$  افزایش می یابد و در دمای بیش از  $70^{\circ}\text{C}$  شروع به کاهش می کند. نتایج مشابهی از اثر دما بر سرعت پلیمر شدن توسط پژوهشگران ارائه شده است [۱۴-۱۶].

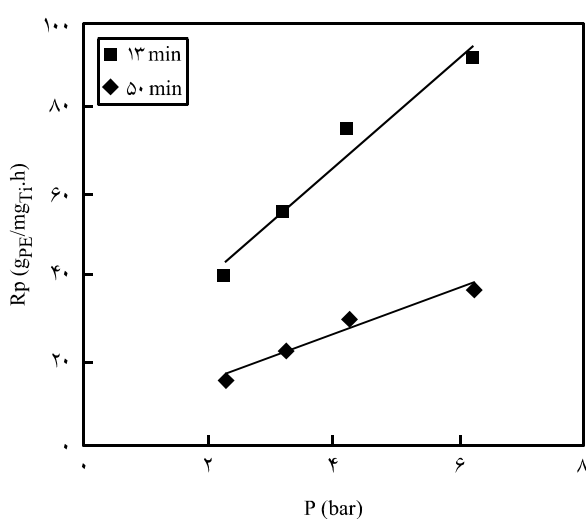
این رفتار و کاهش سرعت پلیمر شدن به تخریب بازگشت ناپذیر مراکز فعلی یا کاهش اتحال پذیری مونومر در دماهای بیشتر نسبت داده شده



شکل ۴- منحنی لانگ-مایر - هنسل وود برای داده های شکل ۳ در زمان های پلیمر شدن ۵ و ۳۰ min.



(الف)



(ب)

شکل ۲- نمودار تغییرات سرعت پلیمر شدن بر حسب فشار مونومر:  
(الف) سرعت بیشینه و (ب) سرعت متوسط در زمان های پلیمر شدن ۱۳ و ۵۰ min (شرایط واکنش مشابه شکل ۱ و خطوط نمایش داده شده نمودار خطی عبور داده شده از نقاط است).

در این معادله  $[M]$  و  $[A]$  به ترتیب نشان گر غلظت مونومر و کمک کاتالیزور در هگزان و  $k_A$  و  $k_M$  نیز به ترتیب ثوابت جذب کمک کاتالیزور و مونومر روی کاتالیزور هستند. اگر  $k_A \gg k_M$  باشد، معادله (۲) در غلظت ثابت مونومر به معادله (۳) تبدیل می شود:

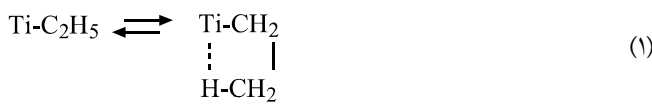
$$R_P = \frac{k' k_A [A]}{(1 + k_A [A])^2} \quad (3)$$

منحنی های  $(A/R_p)^{1/2}$  متوسط گیری شده در زمان های ۵ و ۳۰ min در برابر غلظت کمک کاتالیزور در شکل ۴ نشان داده شده است. مقادیر  $k_A$

جدول ۳ - مقادیر انرژی فعال سازی در دماهای مختلف پلیمر شدن.

E (kcal/mol)	دما (°C)
۱۵/۵۵	۵۰-۶۰
۱۷/۳۳	۶۰-۷۰
-۴/۶۹	۷۰-۸۰

افزایش غلظت هیدروژن مشاهده کردند. هم‌چنین، کاهش آرام سرعت پلیمر شدن با افزودن هیدروژن توسط Kahraman و همکاران [۲۲] مشاهده شد. برخی پژوهشگران این کاهش را به افروختن آهسته مونومر به پیوند کاتالیزور - هیدروژن یا به واکنش‌های فرعی مانند هیدروژن دار شدن جزئی آلکیل آلومنیم نسبت داده‌اند [۱۹]. یکی از معتبرترین دلایل برای کاهش سرعت پلیمر شدن اتیلن به وسیله هیدروژن با تشکیل ساختارهای جهت یافته بتا‌اگوستیک ( $\beta$ -agostic) مطابق واکنش (۱) قابل بیان است [۱۶، ۲۳]:



مطابق واکنش (۱) تعداد گونه‌های  $Ti-C_2H_5$  با افزایش هیدروژن به شدت افزایش می‌یابد و به دلیل زیاد بودن مقدار ثابت تعادل، واکنش (۱) به مقدار زیاد به سمت راست میل می‌کند. به عبارت دیگر، گونه‌های  $Ti-C_2H_5$  با یک گروه هیدروژن کوئوردینه نشده قابلیت وارد کردن اتیلن به درون پیوند  $Ti-C$  را دارند (واکنش انتشار زنجیر). گروه ثبیت

جدول ۲ - مقادیر  $K_A$  و  $k'$  در زمان‌های مختلف پلیمر شدن.

$K_A$	$k'$	زمان (min)
۲/۵۰۹	۹۹/۱۴	۵
۲/۳۹	۶۶/۶۳	۳۰

است [۴، ۱۵، ۱۶].

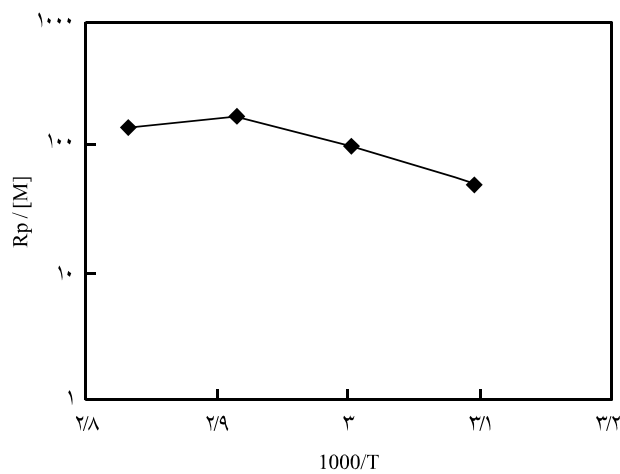
منحنی  $[R_p/M]$  متوسط گیری شده در زمان ۲۴ min بر حسب معکوس دما در شکل ۶ نشان داده شده است. مقادیر انرژی فعال سازی از میانگین سرعت در مدت زمان ۲۴ min محاسبه و در جدول ۳ آورده شده است. معادله حالت SRK برای محاسبه غلظت مونومر در فاز مایع و گاز به کار گرفته شده است [۱۸].

Keii و همکاران [۱۰] مقادیر انرژی فعال سازی منفی را در دماهای بیشتر به کاهش بازگشت ناپذیر مراکز فعال در دماهای بیشتر نسبت داده‌اند.

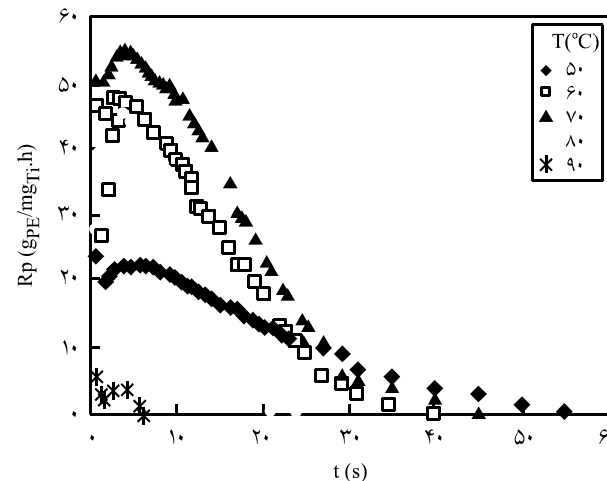
### اثر هیدروژن

هیدروژن یکی از مهم‌ترین عوامل انتقال زنجیر در پلیمر شدن اولفین‌هاست. در فشارهای جزئی مختلف اثر هیدروژن بررسی شد. سرعت‌های پلیمر شدن در دمای  $70^\circ C$ ، فشار کل ۳ bar و در غلظت‌های مختلف هیدروژن در شکل ۷ آورده شده است. میانگین سرعت پلیمر شدن با افزودن هیدروژن کاهش یافته است (شکل ۸). کاهش سرعت در غلظت‌های زیاد هیدروژن توسط سایر پژوهشگران در فاز دوغایی مشاهده شده است [۱۶، ۱۹-۲۳].

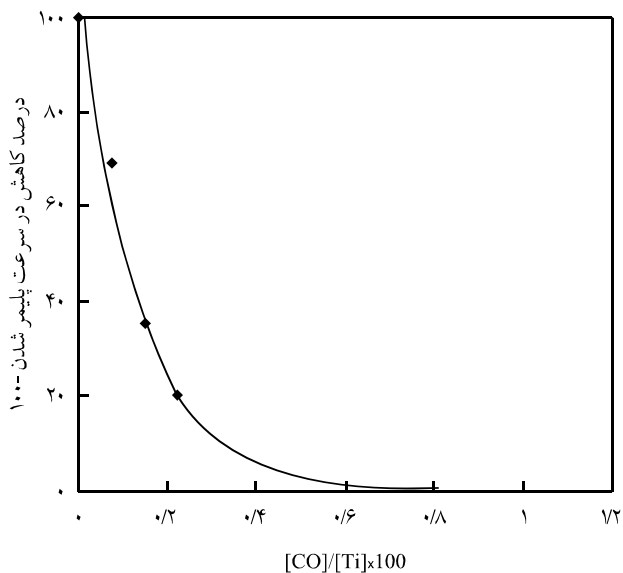
Huang و همکاران [۲۱] کاهش لحظه‌ای سرعت پلیمر شدن را با



شکل ۶ - نمودار تغییرات  $R_p/[M]$  متوسط گیری شده در زمان ۲۴ min بر حسب معکوس دما (کلوین) (شرط پلیمر شدن مشابه شکل ۵ است).



شکل ۵- اثر دما بر سرعت پلیمر شدن (شرط واکنش:  $[AlEt_3] = 0.59\text{ mmol/L}$ ،  $[Ti] = 2.96 \times 10^{-5}\text{ mol/L}$  و  $P = 3\text{ bar}$ )



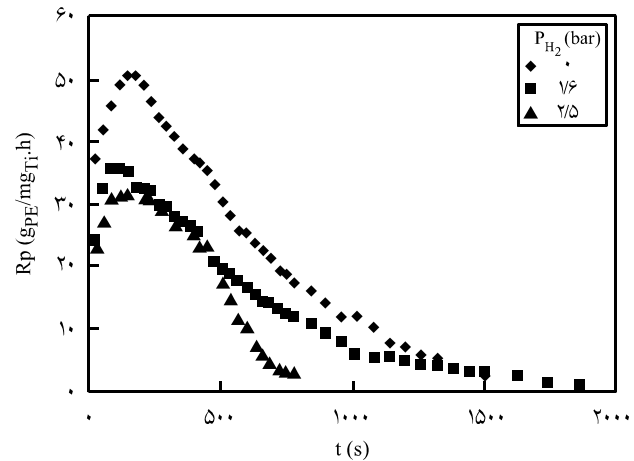
شکل ۹ - نمودار درصد کاهش سرعت پلیمر شدن بر حسب مقدار CO  
شرط پلیمر شدن:  $[AlEt_3] = 2.8 \times 10^{-5} mol$ ,  $[Ti] = 2.8 \times 10^{-5} mol$ ,  $(T=70^{\circ}C, P=3 bar)$

برون یابی منحنی درصد کاهش در سرعت پلیمر شدن - ۱۰۰ در برابر غلظت CO اضافه شده به دست می آید (شکل ۹). آزمایش های پلیمر شدن در دمای  $70^{\circ}C$  و فشار کل  $3 bar$  انجام شد. غلظت مونومر در هگزان/L  $2.13 mol$ , محاسبه شد. مقدار سرعت پلیمر شدن که در آن CO تزریق شد، برابر با  $2.677 mol_{Et}/mol_{Ti}s$  بود. در نتیجه مقدار ثابت انتشار هم به کمک معادله  $R_p = k_p C_0 [M]$  محاسبه شد.

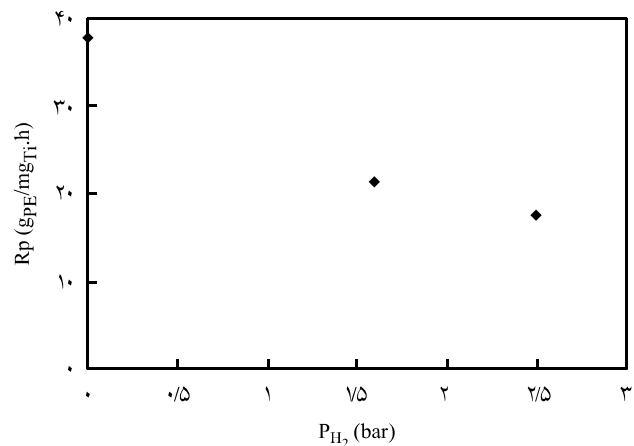
باید دقت کرد که حد بالایی غلظت مراکز فعال با این روش قابل اندازه گیری است [۲۴] که در این جا مقدار  $Ti^{2+}/mol$  به دست آمده است. برای سامانه کاتالیزوری  $Mg(OR)_2/TiCl_4$  غلظت مراکز فعال در دمای  $60^{\circ}C$  در مرجع ۴ معادل  $0.02$  گزارش شده است. برای سامانه کاتالیزوری  $MgCl_2/TiCl_4$  نگه داری شده روی  $SiO_2$  نیز غلظت مراکز فعال در دمای  $80^{\circ}C$  معادل  $0.19 mol_{Ti}/mol$  گزارش شده است. این نکته قابل ذکر است که غلظت مراکز فعال برای هر سامانه کاتالیزوری ویژه آن سامانه است و به شرایط ساخت کاتالیزور بستگی دارد.

## نتیجه گیری

با حذف آثار داخلی و خارجی مقاومت انتقال جرم، سینتیک پلیمر شدن



شکل ۷ - اثر فشار جزئی هیدروژن بر سرعت پلیمر شدن (شرط واکنش:  $P = 3 bar$ ,  $[Ti] = 2.8 \times 10^{-5} mol$ ,  $[AlEt_3] = 0.918 mmol/L$ ,  $(T=60^{\circ}C)$ )



شکل ۸ - اثر فشار هیدروژن بر میانگین سرعت پلیمر شدن (شرط واکنش مشابه شکل ۷ است).

شده  $\beta$ -agostic به وجود آمده غیرفعال است، چون مکان خالی کوئور دیناسیونی برای اتیلن به وسیله اتم هیدروژن گروه متیل اشغال شده است.

## اندازه گیری غلظت مراکز فعال

در این پژوهش، از روش بازدارندگی کربن مونوکسید برای تخمین غلظت مراکز فعال استفاده شد [۴]. هم چنین، از این مقادیر برای تعیین ثابت انتشار زنجیر استفاده شد. فرض حاکم این است که یک مولکول CO روی هر مرکز فعال جذب می شود و تعداد مراکز فعال با

افزایش فشار جزئی هیدروژن کاهش می‌پابد. غلظت مراکز فعال نیز با روش بازدارندگی  $CO$  معادل  $Ti$   $mol/mol_{Ti} \times 10^{-2}$  به دست آمد.

### قدرتانی

از شرکت پژوهش و فناوری پتروشیمی به دلیل در اختیار نهادن کمک‌های مالی برای انجام این کار پژوهشی تشکر می‌شود.

اتیلن با کاتالیزور  $TiCl_4/Mg(OC_2H_5)_2$  بررسی شد. سرعت واکنش پلیمر شدن نسبت به فشار اتیلن از درجه ۱ است. تغییرات سرعت پلیمر شدن به کمک کاتالیزور با معادله لانگ مایر-هنشنل وود تطابق دارد. هم چنین، مقدار بیشینه سرعت پلیمر شدن در مقدار معینی از غلظت کمک کاتالیزور به دست آمد. منحنی تغییرات سرعت پلیمر شدن نسبت به دما در دمای  $C^{\circ} 70$  بیشینه مقدار را نشان می‌دهد. سرعت پلیمر شدن با

### مراجع

- Huang R., Liu D., Wang S., and Mao B., Spherical  $MgCl_2$  Supported Iron Catalyst for Ethylene Polymerization: Effect of the Preparation Procedure on Catalyst Activity and the Morphology of Polyethylene Particles, *Macromol. Chem. Phys.*, **205**, 966-972, 2004.
- Jamjah R., Zohuri G.H., Vaezi J., Ahmadjo S., Nekomanesh M., and Pouryari M., Morphological Study of Spherical  $MgCl_2.nEtOH$  Supported  $TiCl_4$  Ziegler-Natta Catalyst for Polymerization of Ethylene, *J. Appl. Polym. Sci.*, **101**, 3829-3834, 2006.
- Marques M.M.V., Nunes C.P., Tait P.J.T., and Dias A.R., Polymerization of Ethylene Using a High Activity Ziegler-Natta Catalyst. I. Kinetics Study, *J. Polym. Sci., Part A: Polym. Chem.*, **31**, 209-218, 1993.
- Kim I., Kim J.H., and Woo S.I., Kinetic Study of Ethylene Polymerization by Highly Active Silica Supported  $TiCl_4/MgCl_2$  Catalysts, *J. Appl. Polym. Sci.*, **39**, 837-854, 1990.
- Taveira M.D.N., Do Couto F., and Coutinho F.M.B., Ziegler-Natta Catalyst for Ethylene and Propylene Polymerization Supported on Adducts of Magnesium Chloride with Methyl and Ethyl Alcohols, *Eur. Polym. J.*, **27**, 827-830, 1991.
- Seddighi M., Haddadi Asl V., and Mortazavi M.M., Study of Effective Parameters on Polymeization Kinetics of HDPE, *Iran. J. Polym. Sci. Technol. (Persian)*, **20**, 33-39, 2007.
- Salami Kalajahi M., Hadadi Asl V., and Najafi M., Investigating the Effect of Different Kinetic Parameters on UHMWPE Synthesis, *Iran. J. Polym. Sci. Technol. (Persian)*, **21**, 141-148, 2008.
- Zohuri G., Jamjah R., Mehtarani R., Nekomanesh M., and Ahmadjo S., Slurry Polymerization of Ethylene Using Bisupported Ziegler-Natta Catalyst of  $SiO_2/MgCl_2$  (Ethoxide type)  $TiCl_4/TEA$  System, *Iran. Polymer J.*, **12**, 131-136, 2003.
- Salehi Mobarakeh H., Firouzi Monfared M., and Vakili M., Gas Phase Copolymerization of Ethylene and 1-Butene with Pre-polymerized  $MgCl_2$ -supported Ziegler-Natta Catalyst: Effect of  $Al/Ti$  Ratio, *Iran. Polymer J.*, **15**, 569-575, 2006.
- Keii T., Suzuki E., Tamura M., Murata M., and Doi Y., Propene Polymerization with a Magnesium Chloride Supported Ziegler Catalyst, 1-Principal Kinetics, *Macromol. Chem. Phys.*, **183**, 2285-2304, 1982.
- Caunt A.D., The Determination of Active Centers in Olefin Polymerization, *Eur. Polym. J.*, **13**, 22-26, 1981.
- Levenspiel O., *Chemical Reaction Engineering*, John Wiley and Sons, New York, Chap. 18, 1998.
- Nauman E.B., *Chemical Reactor Design, Optimization and Scale-up*, McGraw Hill, New York, Chap. 10, 2002.
- Wang J., Wang L., Gao H., Wang W., Zhao Zh., Sun T., and Feng L., Ethylene Polymerization Using a Novel  $MgCl_2/SiO_2$ -Supported Ziegler-Natta Catalyst, *Polym. Int.*, **55**, 299-304, 2006
- He L.P., Liu J.Y., Pan L., and Li Y.Sh., Ethylene Polymerization of the New Titanium Complexes Bearing a Phosphine Oxide-Bridged Bisphenol A to Ligand, *J. Polym. Sci., Part A: Polym. Chem.*, **46**, 7062-7073, 2008.
- Hakim S., Nekomanesh M., and Aghaei Nieat M., Investigating the Behaviour of a Bi-Supported  $SiO_2/TiCl_4/THF/MgCl_2$  Catalyst in Slurry Ethylene Polymerization: Activity and Molecular Weight, *Iran. Polym. J.*, **17**, 209-216, 2008.
- Wu L., Bu N., and Wanke S.E., Kinetic Behavior of Ethylene/1-Hexene Copolymerization in Slurry and Solution Reactors, *J. Polym. Sci., Part A: Polym. Chem.*, **43**, 2248-2257, 2005.
- Smith J.M. and Van Ness H.C., *Introduction to Chemical Engineering Thermodynamics*, McGraw Hill, Singapore, Chap. 14, 1988.

19. Choi K.Y., and Ray W.H., Polymerization of Olefins through Heterogeneous Catalysis. II Kinetics of Gas-Phase Propylene Polymerization with Ziegler-Natta Catalyst, *J. Appl. Polym. Sci.*, **20**, 1065-1081, 1985.
20. Jamjah R., Nekoomanesh M., Javaheri M., Ahmadjo S., Zohuri G.H., and Damavandi S., Preparation of Highly Active Heterogeneous Ziegler-Natta Catalyst for Polymerization of Ethylene, *Iran. Polym. J.*, **16**, 31-37, 2007.
21. Huang J.C.K., Lacombe Y., lynch D.T., and Wanke S.E., Effects of Hydrogen and 1-Butene Concentrations on the Molecular Properties of Polyethylene Produced by Catalytic Gas-Phase Polymerization, *Ind. Eng. Chem. Res.*, **36**, 1136-1143, 1997.
22. Kahraman R., Erdogan M., Bilgic T., and Savascic O.T., Propylene Polymerization in Slurry Catalyzed by Titanium Trichloride-Diethyl Aluminum Chloride, *J. Appl. Polym. Sci.*, **53**, 1129-1138, 1994.
23. Kissin Y.V. and Mink R.I., Kinetics and Mechanism of Ethylene Homo-Polymerization and Co-polymerization Reactions with Heterogeneous Ti-Band Ziegler-Natta Catalysts, *Top. Catal.*, **7**, 69-88, 1999.
24. Caunt A.D., Tait P.J.T., and Davies S., *Transition Metal Catalyzed Polymerization*, MMI , New York, 149, 1983.